УЛК 534.2

ИССЛЕДОВАНИЕ РАСПРОСТРАНЕНИЯ СДВИГОВЫХ ВОЛН В ПЕРВОНАЧАЛЬНО НАПРЯЖЕННОМ ТРИКЛИННОМ СЛОЕ, РАСПОЛОЖЕННОМ МЕЖДУ ТРАНСВЕРСАЛЬНО-ИЗОТРОПНЫМ УПРУГИМ И НЕОДНОРОДНЫМ ПОРИСТО-УПРУГИМ ПОЛУПРОСТРАНСТВАМИ

П. Малла Редди, М. Венугопал*, Г. Раджита

Университет Какатии, Варангал, Индия

* Государственный колледж Какатии, Варангал, Индия E-mails: mperati@yahoo.com, venukva@yahoo.com, rajitha.akshu@gmail.com

Исследуется распространение сдвиговых волн в первоначально напряженном триклинном слое, расположенном между двумя полупространствами. Верхнее полупространство полагается трансверсально-изотропным упругим, нижнее — неоднородным изотропным пористо-упругим. Для нижнего полупространства задача сводится к дифференциальному уравнению Уиттекера. Для слоя и полупространств построены частотные уравнения. Исследованы зависимости фазовой скорости от начального напряжения, пористости и неоднородности материала.

Ключевые слова: сдвиговая волна, триклинный слой, трансверсально-изотропное полупространство, неоднородность, пористо-упругое полупространство, начальное напряжение, пористость, фазовая скорость.

DOI: 10.15372/PMTF20220209

Введение. Недра земли состоят из слоев, структура и температура которых различны. Большая часть информации о недрах земли и причинах землетрясений получена на основе исследований сейсмических волн расширения (Р-волн) и сдвиговых волн (SH-волн). Волны расширения вызывают изменение материальных объемов, в то время как сдвиговые волны вызывают изменение формы материальных объемов. Результаты изучения горизонтально поляризованной сдвиговой волны (SH-волны) используются в сейсмологии, гражданском строительстве, механике горных пород и геофизике. Исследованию дисперсии SH-волн в упругих твердых телах посвящено большое количество работ. В [1] приведен обзор работ, в которых изучалось распространение сейсмических волн. В [2] получено точное решение уравнения распространения SH-волны в неоднородных средах. В работе [3] изучено распространение сейсмических волн в анизотропных слоях, в [4] — распространение упругих волн в трансверсально-изотропных средах. Исследование дисперсии, отражения и преломления волн в триклинных и моноклинных слоях земной ко-

Работа выполнена при финансовой поддержке Департамента науки и технологий, Фонда модернизации научно-технической инфраструктуры, Университета Какатии (грант N SR/FST/MSI-101/2014), а также Комиссии по грантам университетов при правительстве Индии (грант N F.15-1/2015-17/PDFWM-2015-17-TEL-34525 (SA-II)).

[©] Малла Редди П., Венугопал М., Раджита Г., 2022

ры при наличии в них неравномерностей, вязкости и гофрированной границы проведено в работах [5-9]. При изучении процесса распространения SH-волн использовались метод преобразования Фурье, метод конечных разностей, методы, основанные на использовании функции Грина [10–12]. В работах [13–15] исследовалось влияние неоднородности вязкости и коэффициента песчаности на процесс распространения SH-волны. Дисперсия SH-волны в магнитоупругом анизотропном слое земной коры, расположенном над нерегулярным неоднородным полупространством, изучалась в [16]. В работах [17, 18] исследовалось распространение SH-волны в слоистой среде, расположенной между двумя упругими полупространствами и двумя анизотропными слоями, с учетом наличия гофрированной границы, вязкости, неоднородности материала и гравитационных сил. Рассеяние сейсмических волн в триклинной среде изучалось в работах [19, 20]. Во многих работах исследовалось распространение SH-волн в пористо-упругих твердых телах в рамках теории Био [21, 22]. В работе [23] изучалось распространение SH-волн в пористом слое неравномерной толщины, в [24] — распространение SH-волн в пористо-упругой среде, расположенной между двумя упругими полупространствами. Распространение волн сдвига в магнитопористоупругой диссипативной изотропной среде, расположенной между двумя пористо-упругими полупространствами, исследовалось в работе [25]. В [26] изучалось распространение сдвиговой волны в магнитопористо-упругой среде, расположенной между самоупрочняющейся пористо-упругой средой и пористо-упругим полупространством.

Нижние слои земной поверхности пропитаны жидкостью. Поры содержат отложения углеводородов, таких как газ и нефть. Характеристики распространения волн в анизотропных и изотропных средах существенно различны. Исследование распространения SH-волн в триклинной среде, расположенной между полубесконечным трансверсально-изотропным и пористо-упругим полупространствами, имеет большое значение при решении геофизических задач, его результаты могут быть использованы при разведке месторождений углеводородов, горных кристаллов и металлов в недрах земли.

В данной работе исследуется процесс распространения SH-волны в триклинной среде, расположенной между трансверсально-изотропным полупространством и изначально напряженным неоднородным пористо-упругим полупространством.

- 1. Постановка и решение задачи. Рассматривается процесс распространения SH-волны в заключенном между двумя полупространствами триклинном слое, в котором действует начальное напряжение P_1 . Верхнее полупространство является трансверсально-изотропным упругим, нижнее неоднородным пористо-упругим, в котором действует начальное напряжение P_2 (рис. 1). Таким образом расположены слои в земной коре. Вводится трехмерная система координат, начало которой расположено на границе раздела триклинного слоя и нижнего полупространства. Ось x параллельна слою, и ее направление совпадает с направлением распространения волны, ось z направлена вниз. Толщина триклинного слоя (-H < z < 0) равна H. В верхнем полупространстве координата z изменяется в интервале $-\infty < z < -H$, в нижнем полупространстве в интервале z > 0.
- 1.1. Распространение волн в трансверсально-изотропном упругом верхнем полупространстве $(-\infty < z < -H)$. Рассмотрим горизонтально поляризованную сдвиговую волну в верхней половине пространства, распространяющуюся в направлении оси x. При этом смещения точек среды происходят в направлении оси y. В этом случае выражения для компонент вектора смещения записываются следующим образом:

$$u_1 = w_1 = 0,$$
 $v_1 = v_1(x, z, t).$

Волновое уравнение имеет вид [22]

$$N_1 \frac{\partial^2 v_1}{\partial x^2} + L_1 \frac{\partial^2 v_1}{\partial z^2} = \rho_1 \frac{\partial^2 v_1}{\partial t^2}, \tag{1.1}$$

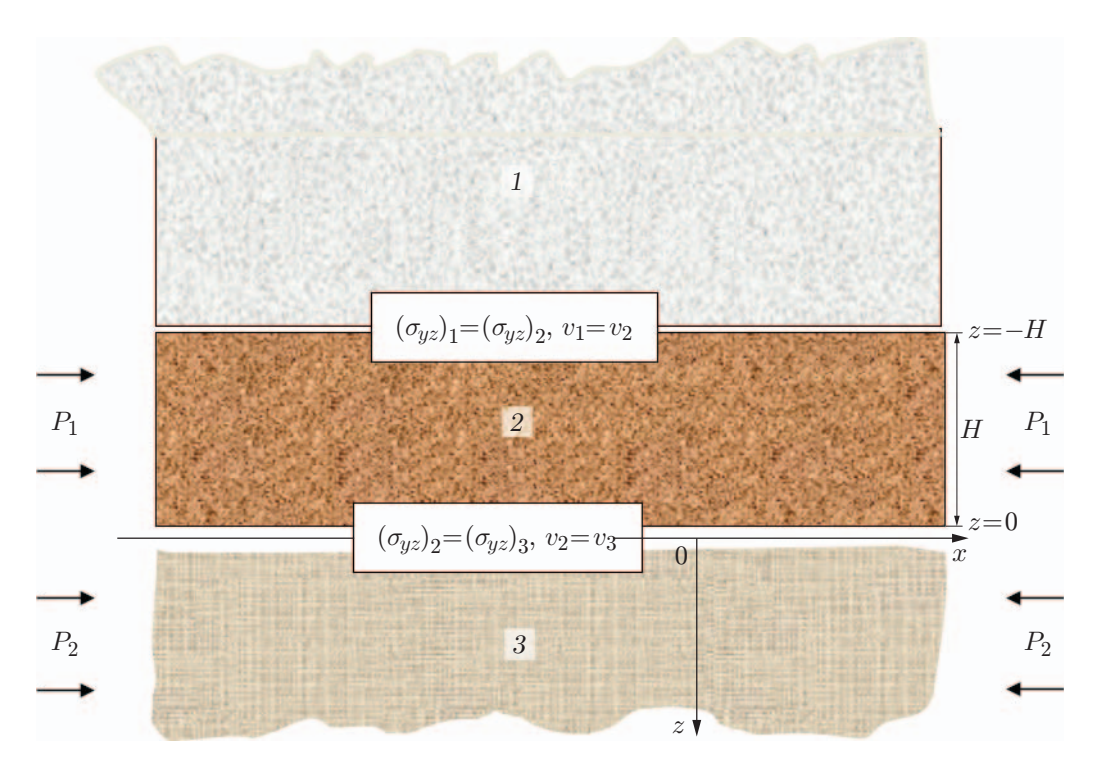


Рис. 1. Геометрия задачи:

1 — трансверсально-изотропное полупространство, 2 — триклинный слой, 3 — гетерогенное пористо-упругое полупространство

где N_1, L_1 — жесткости в направлении осей x, z соответственно; ρ_1 — плотность материала слоя.

Для SH-волны выражение для компоненты вектора смещения v_1 можно представить в виде

$$v_1(x, z, t) = f_1(z) e^{i(kx - wt)},$$
 (1.2)

где k — волновое число; w=ck — круговая частота; c — фазовая скорость; $f_1(z)$ — амплитуда. Подставляя (1.2) в (1.1) и решая полученное дифференциальное уравнение, находим амплитуду

$$f_1(z) = A_1 e^{S_1 z} + A_2 e^{-S_1 z}$$

 $(S_1=\sqrt{N_1/L_1-c^2/\beta_1^2}\,k;\,\beta_1=\sqrt{L_1/\rho_1}$ — скорость сдвиговой волны, распространяющейся в верхнем полупространстве; $A_1,\,A_2$ — произвольные константы). Так как должно выполняться условие $f_1(z)\to 0$ при $z\to -\infty$, то

$$v_1(x, z, t) = A_1 e^{S_1 z} e^{i(kx - wt)}$$
 (1.3)

1.2. Распространение волн в триклинном слое (-H < z < 0). Пусть u_2, v_2, w_2 — компоненты вектора смещения в триклинном слое в направлениях осей x, y, z соответственно. Для анизотропного триклинного слоя соотношения между напряжениями и деформациями записываются в виде

$$\sigma_i = \sum_{j=1}^{6} C_{ij} e_j, \qquad i = 1, 2, \dots, 6,$$

где σ_i , e_i $(i=1,2,\ldots,6)$ — компоненты тензоров напряжения и деформации,

$$C_{ij} = C_{ji}, \quad \sigma_1 = \sigma_{xx}, \quad \sigma_2 = \sigma_{yy}, \quad \sigma_3 = \sigma_{zz}, \quad \sigma_4 = \sigma_{yz} = \sigma_{zy},$$

$$\sigma_5 = \sigma_{xz} = \sigma_{zx}, \quad \sigma_6 = \sigma_{xy} = \sigma_{yx},$$

$$e_1 = e_{xx}, \quad e_2 = e_{yy}, \quad e_3 = e_{zz}, \quad e_4 = e_{yz} = e_{zy}, \quad e_5 = e_{xz} = e_{zx}, \quad e_6 = e_{xy} = e_{yx},$$

$$2e_{xy} = \frac{\partial u_2}{\partial y} + \frac{\partial v_2}{\partial x}, \qquad 2e_{yz} = \frac{\partial v_2}{\partial z} + \frac{\partial w_2}{\partial y}, \qquad 2e_{zx} = \frac{\partial w_2}{\partial x} + \frac{\partial u_2}{\partial y}.$$

$$(1.4)$$

Для SH-волн, распространяющихся в направлении оси x со смещением точек среды в направлении оси y, выражения для компонент вектора смещения записываются в виде

$$u_2 = w_2 = 0, v_2 = v_2(x, z, t).$$
 (1.5)

Из (1.4), (1.5) следует

$$\sigma_1 = \sigma_2 = \sigma_3 = \sigma_5 = 0.$$

Уравнение движения в триклинном слое, находящемся под действием сжимающего напряжения P_1 , в отсутствие массовых сил имеет следующий вид [2]:

$$\frac{\partial (\sigma_6)}{\partial x} + \frac{\partial (\sigma_4)}{\partial z} - \frac{P_1}{2} \frac{\partial^2 v_2}{\partial x^2} = \rho_2 \frac{\partial^2 v_2}{\partial t^2}.$$
 (1.6)

Из (1.4), (1.6) следует

$$\left(C_{66} - \frac{P_1}{2}\right)\frac{\partial^2 v_2}{\partial x^2} + 2C_{46}\frac{\partial^2 v_2}{\partial x \partial z} + C_{44}\frac{\partial^2 v_2}{\partial z^2} = \rho_2 \frac{\partial^2 v_2}{\partial t^2}, \tag{1.7}$$

где ρ_2 — плотность материала триклинного слоя; C_{44} , C_{46} , C_{66} — упругие константы материала триклинного слоя.

Решение уравнения (1.7) можно записать в следующем виде:

$$v_2(x, z, t) = f_2(z) e^{i(kx - wt)}$$
 (1.8)

Подставляя (1.8) в (1.7), получаем

$$f_2(z) = e^{-az/2} (A_3 \cos qz + A_4 \sin qz).$$

Таким образом, выражение для смещения точек в SH-волне в триклинном слое имеет вид

$$v_2(x, z, t) = e^{-az/2} (A_3 \cos qz + A_4 \sin qz) e^{i(kx - wt)},$$
(1.9)

где
$$q = \sqrt{b^2 - a^2/4}$$
; $a = 2ikC_{46}/C_{44}$; $b = \sqrt{P_1/(2C_{44}) - C_{66}/C_{44} + c^2/\beta_2^2}$ k ; $\beta_2 = \sqrt{C_{44}/\rho_2}$ — скорость сдвиговой волны в триклинном слое; A_3 , A_4 — произвольные константы.

1.3. Распространение волн в нижнем гетерогенном изотропном пористом упругом полупространстве (z>0). Пусть u_3,v_3,w_3 и U_3,V_3,W_3 — компоненты вектора смещения в твердом теле и жидкости соответственно. Компоненты векторов смещения точек в направлении оси y в SH-волне, распространяющейся вдоль направления оси x, записываются в следующем виде:

$$u_3 = w_3 = 0$$
, $v_3 = v_3(x, z, t)$, $u_3 = W_3 = 0$, $v_3 = V_3(x, z, t)$.

Уравнения движения для нижнего пористого упругого полупространства, находящегося под действием сжимающего напряжения P_2 , имеют вид [21, 22]

$$\frac{\partial}{\partial x} \left(N_3^* \frac{\partial v_3}{\partial x} \right) + \frac{\partial}{\partial z} \left(N_3^* \frac{\partial v_3}{\partial z} \right) - \frac{P_2^*}{2} \frac{\partial^2 v_3}{\partial x^2} = \rho_{11}^* \frac{\partial^2 v_3}{\partial t^2} + \rho_{12}^* \frac{\partial^2 V_3}{\partial t^2},$$

$$\rho_{12}^* \frac{\partial^2 v_3}{\partial t^2} + \rho_{22}^* \frac{\partial^2 V_3}{\partial t^2} = 0,$$
(1.10)

где

$$N_3^* = N_3(1 + \alpha z), \qquad \rho_{11}^* = \rho_{11}(1 + \alpha z), \qquad \rho_{12}^* = \rho_{12}(1 + \alpha z),$$

$$\rho_{22}^* = \rho_{22}(1 + \alpha z), \qquad P_2^* = P_2(1 + \alpha z),$$

(1.11)

 N_3 — модуль сдвига; ρ_{11} , ρ_{12} , ρ_{22} — массовые коэффициенты; α — константа, имеющая размерность, обратную размерности длины.

Из (1.10), (1.11) следует

$$N_3(1+\alpha z)\frac{\partial^2 v_3}{\partial x^2} + N_3\alpha \frac{\partial v_3}{\partial z} + N_3(1+\alpha z)\frac{\partial^2 v_3}{\partial z^2} - \frac{P_2}{2}(1+\alpha z)\frac{\partial^2 v_3}{\partial x^2} = d_1(1+\alpha z)\frac{\partial^2 v_3}{\partial t^2}, \quad (1.12)$$

где $d_1 = \rho_{11} - \rho_{12}^2/\rho_{22}$.

Для SH-волны решение уравнения (1.12) можно записать в виде

$$v_3(x, z, t) = f_3(z) e^{i(kx - wt)}$$
 (1.13)

Из уравнений (1.12), (1.13) следует уравнение для функции $f_3(z)$

$$\frac{d^3 f_3(z)}{dz^2} + \frac{\alpha}{1 + \alpha z} \frac{df_3(z)}{dz} - k^2 \left(1 - \frac{P_2}{2N_3} - \frac{c^2}{\beta_3^2}\right) f_3(z) = 0, \tag{1.14}$$

где $\beta_3=\sqrt{N_3/d_1}$ — скорость сдвиговой волны в нижнем полупространстве. Используя безразмерные параметры $\gamma_{11}=\rho_{11}/\rho,\ \gamma_{12}=\rho_{12}/\rho,\ \gamma_{22}=\rho_{22}/\rho$ [21], выражение для β_3 можно записать в виде

$$\beta_3 = \sqrt{N_3/d_1} = \beta_0 \sqrt{1/d},$$

где $\beta_0 = \sqrt{N_3/\rho}$; $\rho = \rho_{11} + 2\rho_{12} + \rho_{22}$; $d = \gamma_{11} - \gamma_{12}^2/\gamma_{22}$ — параметр пористости.

Возможны следующие варианты изменения параметра d:

- 1) если нижнее полупространство не является пористым твердым телом, то $d \to 1$;
- 2) если нижнее полупространство представляет собой жидкость, то $d \to 0$;
- 3) если нижнее полупространство является пористо-упругим, то 0 < d < 1.
- В результате замены $f_3(z) = \varphi(z)/\sqrt{1+\alpha z}$ уравнение (1.14) принимает вид

$$\varphi''(z) + \left[\frac{\alpha^2}{4(1+\alpha z)^2} - k^2 \left(1 - \frac{P_2}{2N_3} - \frac{c^2 d}{\beta_0^2}\right)\right] \varphi(z) = 0.$$
 (1.15)

Переходя в уравнении (1.15) к новой независимой переменной $\eta = 2Fk(1+\alpha z)/\alpha,$ получаем

$$\frac{d^2\varphi(\eta)}{d\eta^2} + \left(\frac{1}{4\eta^2} + \frac{R}{\eta} - \frac{1}{4}\right)\varphi(\eta) = 0,\tag{1.16}$$

где

$$R = \frac{k}{2F\alpha} \left(\frac{c^2}{\beta_3^2} - 1 + \frac{P_2}{2N_3} + F^2 \right), \qquad F = \sqrt{1 - \frac{P_2}{2N_3} - \frac{c^2 d}{\beta_0^2}}.$$

Уравнение (1.16) является дифференциальным уравнением Уиттекера [27], решение которого имеет вид

$$\varphi(\eta) = A_5 W_{(R,0)}(\eta) + A_6 W_{(-R,0)}(\eta)$$

 $(A_5, A_6$ — произвольные константы; $W_{(R,0)}(\eta), W_{(-R,0)}(\eta)$ — функции Уиттекера).

Так как смещение должно обращаться в нуль при $z \to \infty$, то

$$\varphi(\eta) = A_5 W_{(R,0)}(\eta).$$

Следовательно,

$$f_3(z) = \frac{\varphi(\eta)}{\sqrt{1 + \alpha z}} = \frac{A_5 W_{(R,0)}(\eta)}{\sqrt{1 + \alpha z}};$$

$$v_3(x, z, t) = \frac{A_5 W_{(R,0)}(\eta)}{\sqrt{1 + \alpha z}} e^{i(kx - wt)}.$$
(1.17)

- **2.** Граничные условия и частотное уравнение. На межслойных поверхностях задаются следующие граничные условия:
- 1) при z=-H перемещения являются непрерывными, т. е. $v_1=v_2$, напряжения также непрерывны: $(\sigma_{yz})_1=(\sigma_{yz})_2$, следовательно

$$L_1\left(\frac{\partial v_1}{\partial z}\right)\Big|_{z=-H} = C_{44}\left(\frac{\partial v_2}{\partial z}\right)\Big|_{z=-H};$$
 (2.1)

2) при z=0 перемещения являются непрерывными, т. е. $v_2=v_3$, напряжения также непрерывны: $(\sigma_{yz})_2=(\sigma_{yz})_3$, следовательно,

$$C_{44}\left(\frac{\partial v_2}{\partial z}\right)\Big|_{z=0} = N_3(1+\alpha z)\left(\frac{\partial v_3}{\partial z}\right)\Big|_{z=0}.$$
 (2.2)

Подставляя выражения (1.3), (1.9), (1.17) в условия (2.1), (2.2), разлагая функцию Уиттекера и ее производную и сохраняя только линейные члены, получаем четыре уравнения для четырех неизвестных констант A_i (i=1,2,3,4). Из условия существования нетривиального решения этой системы следует соотношение

$$tg(qH) = \frac{qC_{44}(L_1S_1X_1 - N_3X_2)}{X_1C_{44}^2b^2 + C_{46}X_1k^2 + N_3X_2S_1L_1},$$
(2.3)

где

$$X_1 = e^{-Fk/\alpha} \left(\frac{\alpha}{8FK} - 1 \right), \qquad X_2 = \frac{-X_1(1+\alpha)}{2} - e^{-Fk/\alpha} \frac{\alpha^2}{16F^2k^2}.$$

Соотношение (2.3) является частотным уравнением для SH-волны в триклинном слое.

Рассмотрим частные случаи частотного уравнения.

1. Если $N_1 = L_1$ (верхнее полупространство является изотропным и упругим) и $P_2 = 0$, $d \to 1$, $\alpha = 0$ (нижнее полупространство является однородным изотропным упругим и свободным от напряжений), то уравнение (2.3) принимает следующий вид:

$$\operatorname{tg}(qkH) = \frac{C_{44}q(N_1S_1 + N_3Fk)}{C_{44}^2b^2 + C_{46}k^2 - N_1N_3S_1Fk}.$$
(2.4)

2. Если помимо условий, указанных для случая 1, выполняется равенство $S_1 = 0$ (верхнее полупространство отсутствует), то частотное уравнение (2.4) сводится к следующему:

$$\operatorname{tg}\left(\sqrt{\frac{P_1}{2C_{44}} + \frac{c^2}{\beta_2^2} + \frac{C_{46}^2}{C_{44}^2} - \frac{C_{66}}{C_{44}}} kH\right) = \frac{N_3C_{44}\sqrt{P_1/(2C_{44}) + c^2/\beta_2^2 + C_{46}^2/C_{44}^2 - C_{66}/C_{44}} \sqrt{1 - c^2/\beta_3^2}}{C_{44}^2(P_1/(2C_{44}) + c^2/\beta_2^2 - C_{66}/C_{44}) + C_{46}}. \tag{2.5}$$

Уравнение (2.5) представляет собой уравнение дисперсии для SH-волны в первоначально напряженном триклинном слое, находящемся над однородным упругим полупространством.

3. Если помимо условий, указанных для случая 2, выполняются равенства $P_1=0$, $C_{46}=0$, $C_{44}=C_{66}=N_2$, то уравнение (2.5) сводится к следующему:

$$\operatorname{tg}\left[\left(\frac{c^2}{\beta_2^2} - 1\right)^{1/2} kH\right] = \frac{N_3}{N_2} \frac{(1 - c^2/\beta_3^2)^{1/2}}{(c^2/\beta_2^2 - 1)^{1/2}}.$$
 (2.6)

Здесь $\beta_2 < c < \beta_3$; $\beta_2 = \sqrt{N_2/\rho_2}$; $\beta_3 = \sqrt{N_3/\rho_{11}}$.

Уравнение (2.6) представляет собой частотное уравнение для классической волны Лява, распространяющейся в однородном слое, расположенном над однородным полупространством [1].

3. Результаты численных расчетов. Зависимости фазовой скорости от волнового числа вычислялись методом деления отрезка пополам с использованием пакета МАТLAB и приведены на рис. 2–5. Расчеты проводились с использованием следующих значений параметров: для верхнего трансверсально-изотропного полупространства (цинк) $N_1 = 6.7 \cdot 10^{10} \; \mathrm{H/m^2}, \; L_1 = 3.96 \cdot 10^{10} \; \mathrm{H/m^2}, \; \rho_1 = 7140 \; \mathrm{kr/m^3} \; [4]; для триклинного слоя (песчаник горного массива Вогезы) <math>C_{44} = 5.64 \cdot 10^9 \; \mathrm{H/m^2}, \; C_{46} = 0, \; C_{66} = 6.912 \cdot 10^9 \; \mathrm{H/m^2}, \; \rho_2 = 2400 \; \mathrm{kr/m^3} \; [8]; для нижнего анизотропного пористо-упругого полупространства (песчаник, насыщенный водой) <math>N_3 = 0.922 \cdot 10^{10} \; \mathrm{H/m^2}, \; \rho_{11} = 1.9032 \cdot 10^3 \; \mathrm{kr/m^3}, \; \rho_{12} = 0, \rho_{22} = 0.268 \cdot 10^3 \; \mathrm{kr/m^3} \; [25]. Остальные параметры задачи имели следующие значения: <math>P_1/(2C_{44}) = 0.75, \; P_2/(2N_3) = 0.2, \; d = 0.2, \; \alpha H = 15.$

На рис. 2 приведена зависимость фазовой скорости c_2/β_2 от волнового числа kH при различных начальных значениях напряжения $P_1/(2C_{44})$ в триклинном слое. Видно, что с увеличением начального напряжения и волнового числа фазовая скорость уменьшается.

На рис. З показана зависимость фазовой скорости от волнового числа при различных начальных значениях напряжения $P_2/(2N_3)$ в нижнем полупространстве. Из рис. З следует, что с увеличением начального напряжения $P_2/(2N_3)$ фазовая скорость уменьшается.

На рис. 4 представлена зависимость фазовой скорости от волнового числа для SH-волн при различных значениях пористости d. Видно, что фазовая скорость уменьшается с увеличением параметра пористости.

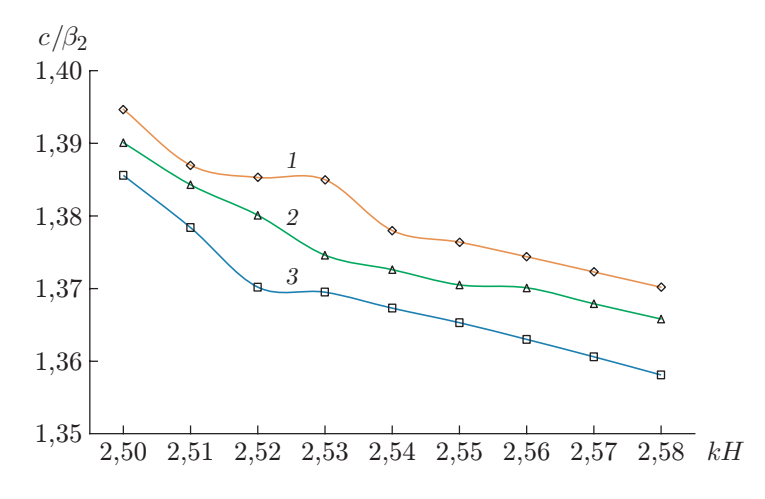


Рис. 2. Зависимость фазовой скорости от волнового числа при различных начальных значениях напряжения $P_1/(2C_{44})$ в триклинном слое: $1-P_1/(2C_{44})=0.71,\ 2-P_1/(2C_{44})=0.73,\ 3-P_1/(2C_{44})=0.75$

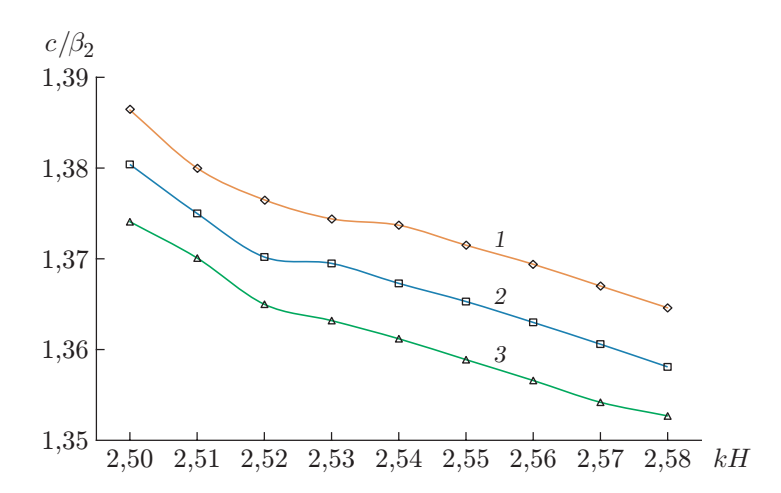


Рис. 3. Зависимость фазовой скорости от волнового числа при различных начальных значениях напряжения $P_2/(2N_3)$ в нижнем полупространстве: $1-P_2/(2N_3)=0.16,\,2-P_2/(2N_3)=0.20,\,3-P_2/(2N_3)=0.24$

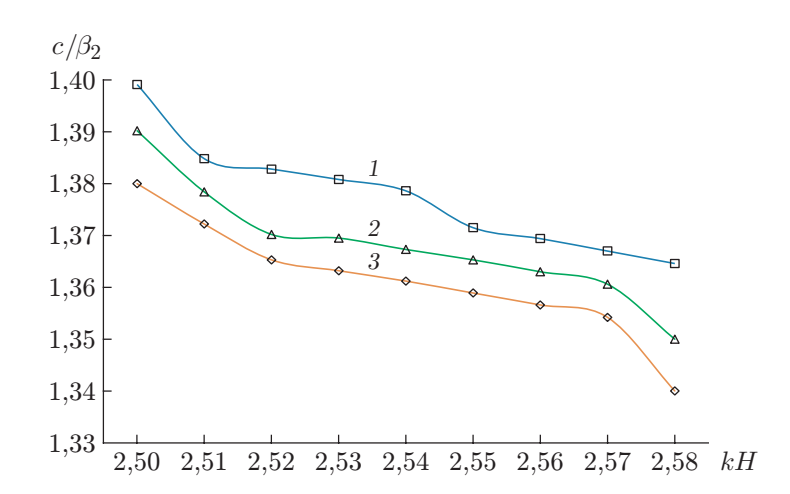


Рис. 4. Зависимость фазовой скорости от волнового числа для SH-волн при различных значениях пористости d: 1-d=0.15, 2-d=0.20, 3-d=0.25

На рис. 5 приведена зависимость фазовой скорости от волнового числа при различных значениях параметра неоднородности αH . Из рис. 5 следует, что с увеличением параметра неоднородности αH фазовая скорость уменьшается.

Заключение. В работе изучено распространение SH-волн в триклинном слое, расположенном между трансверсально-изотропным упругим полупространством и неоднородным пористо-упругим полупространством, при наличии в нем начального напряжения. Выражения для перемещений в слое и полупространствах получены в замкнутом виде. Решение для неоднородного пористо-упругого полупространства выражается через функции Уиттекера. Изучено влияние начального напряжения в триклинном слое, пористости и неоднородности полупространств на фазовую скорость волны. Результаты проведенного исследования позволяют сделать следующие выводы. С увеличением безразмерного волнового числа фазовая скорость уменьшается. При наличии начальных напряжений и при увеличении параметра неоднородности фазовая скорость уменьшается, а при увеличении пористости — увеличивается. В отсутствие верхнего полупространства, начального

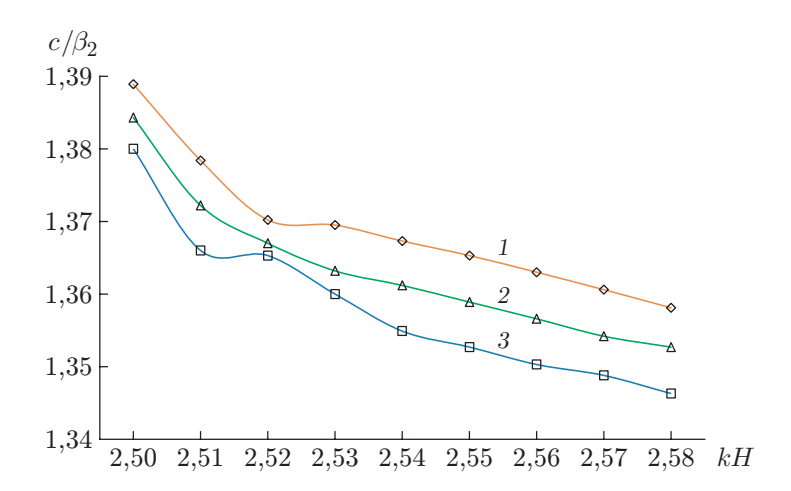


Рис. 5. Зависимость фазовой скорости от волнового числа при различных значениях параметра неоднородности αH :

$$1 - \alpha H = 15.0, 2 - \alpha H = 15.5, 3 - \alpha H = 16.0$$

напряжения и неоднородности материала дисперсионное соотношение совпадает с классическим соотношением для волн Лява.

Полученные результаты могут быть использованы при разведке месторождений кристаллов и минералов.

ЛИТЕРАТУРА

- 1. **Ewing W. M.** Elastic waves in layered media / W. M. Ewing, W. S. Jardetzky, F. Press. N. Y.: McGraw-Hill, 1957.
- 2. **Bhattacharya S. N.** Exact solution of SH-wave equation for inhomogeneous media // Bull. Seismol. Soc. Amer. 1970. V. 60, N 6. P. 1847–1859.
- 3. **Keith C. M., Crampin S.** Seismic body waves in anisotropic media: Propagation through a layer // Geophys. J. R. Astr. Soc. 1977. V. 49. P. 209–223.
- 4. **Payton R. G.** Elastic wave propagation in transversely isotropic media. Hague: Springer, 1983. (Mechanics of elastic and inelastic solids; V. 4).
- 5. Chattopadhyay A., Pal A. K. Dispersion curves of SH waves caused by irregularity in the prestressed internal stratum // Acta Geophys. Pol. 1983. V. 31, N 1. P. 37–49.
- 6. **Gupta S.** Reflection and transmission of SH-waves in laterally and vertically heterogeneous media at an irregular boundary // Geophys. Trans. 1987. V. 33, N 2. P. 89–111.
- 7. Tomar S. K., Kumar R., Chopra A. Reflection/refraction of SH waves at a corrugated interface between transversely isotropic and visco-elastic solid half-spaces // Acta Geophys. Pol. 2002. V. 50, N 2. P. 231–250.
- 8. Chattopadhyay A. Wave reflection and refraction in triclinic crystalline medium // Arch. Appl. Mech. 2004. V. 73. P. 568–579.
- 9. Chattopadhyay A., Michel V. A model for spherical SH wave propagation in self-reinforced linearly elastic media // Arch. Appl. Mech. 2006. V. 75, N 2/3. P. 113–124.
- Chattopadhyay A., Gupta S., Sharma V. K., Kumari P. Propagation of SH waves in an irregular monoclinic crustal layer // Arch. Appl. Mech. 2008. V. 78. P. 989–999.
- 11. Pallavika, Kalyani V. K., Chakraborty S. K., Sinha A. Finite difference modeling of SH-wave propagation in multilayered porous crust // J. Ind. Geophys. Union. 2008. V. 12, N 4. P. 165–172.

- 12. **Daros C. H.** Green's function for SH-waves in inhomogeneous anisotropic elastic solid with power-function velocity variation // Wave Motion. 2013. V. 50, N 2. P. 101–110.
- 13. Sahu S. A., Saroj P. K., Dewangan N. SH-waves in viscoelastic heterogeneous layer over half-space with self-weight // Arch. Appl. Mech. 2014. V. 84, N 2. P. 235–245.
- Pal P. C., Mandal D. Generation of SH-type waves due to shearing stress discontinuity in a sandy layer overlying an isotropic and inhomogeneous elastic half-space // Acta Geophys. 2014. V. 62. P. 44–58.
- 15. **Kakar R.** SH-wave propagation in a heterogeneous layer over an inhomogeneous isotropic elastic half-space // Earthquakes Structures. 2015. V. 9, N 2. P. 305–320.
- 16. Parvez A., Kundu S., Gupta S. Dispersion study of SH-wave propagation in an irregular magneto-elastic anisotropic crustal layer over an irregular heterogeneous half-space // J. King Saud Univ. Science. 2016. V. 30. P. 301–310.
- 17. Singh A. K., Kshitish Ch. M., Das A. Propagation of SH-wave in a corrugated viscous sandy layer sandwiched between two elastic half-spaces // Waves Random Complex Media. 2017. V. 27, iss. 2. P. 213–240. DOI: 10.1080/17455030.2016.1213461.
- 18. Kumari N., Chattopadhyay A., Kumar S., Singh A. K. Propagation of SH-waves in two anisotropic layers bonded to an isotropic half-space under gravity // Waves Random Complex Media. 2017. V. 27, iss. 2. P. 195–212. DOI: 10.1080/17455030.2016.1212176.
- 19. **Gupta S.** Scattering of three-dimensional plane waves in a self-reinforced half-space lying over a triclinic halfspace // J. Geophys. Engng. 2018. V. 15. P. 759–774.
- 20. **Kumari P., Sharma V. K.** Dynamics of seismic waves in highly anisotropic triclinic media with intermediate monoclinic layer // Appl. Math. Model. 2019. V. 71. P. 375–393.
- 21. **Biot M. A.** Theory of propagation of elastic waves in fluid-saturated porous solid // J. Acoust. Soc. Amer. 1956. V. 28, N 2. P. 168–178.
- 22. Biot M. A. Mechanics of incremental deformations. N. Y.: Wiley and Sons, Inc., 1965.
- 23. Chattopadhyay A., Chakraborty M., Mahata N. P. SH waves in a porous layer of non-uniform thickness // Trans. Engrs. 1986. V. 34. P. 3–13.
- Sahu A., Chaudhary A., Saroj P. K., Chattopadhyay A. Transference of SH-waves in fluid saturated porous medium sandwiched between heterogeneous half spaces // J. Solid Mech. 2017.
 V. 9, N 3. P. 619–631.
- 25. Balu Ch., Rajitha G., Ramesh M., Reddy P. M. Shear wave propagation in magneto-poroelastic dissipative isotropic medium sandwiched between two poroelastic half spaces // Intern. J. Pure Appl. Math. 2018. V. 118. P. 4645–4656.
- Sindhuja A., Rajitha G., Malla Reddy P. Shear wave propagation in magneto poroelastic medium sandwiched between self-reinforced poroelastic medium and poroelastic half space // Engng Comput. 2020. V. 37, N 9. P. 3345–3359. DOI: 10.1108/ec-11-2019-0505.
- 27. Whittaker E. T. A course of modern analysis / E. T. Whittaker, G. N. Watson. Cambridge; N. Y.: Cambridge Univ. Press, 1991.

Поступила в редакцию $1/\text{II}\ 2021\ \text{г.},$ после доработки — $23/\text{IV}\ 2021\ \text{г.}$ Принята к публикации $26/\text{VII}\ 2021\ \text{г.}$